



PERÚ

Ministerio
de la Producción



IMARPE
INSTITUTO DEL MAR DEL PERÚ

BOLETÍN SEMANAL OCEANOGRÁFICO Y BIOLÓGICO-PESQUERO

Año 10, N° 42

Semana 42: 13 - 19 de octubre de 2025

RESUMEN

- La anomalía promedio de la temperatura superficial del mar (TSM), se mantuvo en la región Niño 3.4 (-0,53 °C) y descendió 0,04 °C en la Región Niño 1+2 (-0,25 °C), con respecto a la semana anterior, de acuerdo al producto OSTIA.
- Las aguas con TSM < 20 °C se replegaron hacia Salinas (Ecuador), permitiendo el avance de las Aguas Tropicales Superficiales (TSM > 21 °C) con anomalías cálidas de hasta +1,7 °C frente a la costa ecuatoriana. La banda de aguas menores a 17 °C se proyectó hasta Paita, aunque con una menor cobertura al sur de Huacho. La TSM entre Pisco y Atico aumentó en hasta 1,9 °C (San Juan de Marcona) debido a la presencia de vientos débiles en la franja costera al sur de Chimbote.
- De acuerdo al modelo MERCATOR, las aguas costeras frías (ACF) continuaron ocupando la zona costera al sur de Talara, generando mezcla con las Aguas Subtropicales Superficiales (ASS) por fuera de las 50 mn, con excepción de la zona de Puerto Supe, donde las ASS aún se mantienen cerca de la costa.
- La información *in situ*, entre Pisco y San Juan de Marcona a nivel superficial, indica condiciones neutras asociadas a las ACF que cambian a cálidas de hasta +2 °C entre Punta Infiernillos y San Juan de Marcona, a causa de un mayor acercamiento de las ASS hacia la costa. En la columna de agua, a 47 mn frente a Huacho se agudizó el enfriamiento de la columna de agua sobre los 100 m, predominando anomalías negativas de hasta -2,5 °C (47 m), asociadas al efecto de la onda Kelvin fría. Frente a Pisco sobre los 100 m, se identificaron patrones asociados al afloramiento costero dentro de las 40 mn, debido al ascenso de la isoterma de 15 °C y anomalías negativas de hasta -1 °C, en tanto que, fuera de las 50 mn se detectaron anomalías positivas de hasta +2 °C (80 m) a causa del acercamiento a la costa de las ASS.

PRONÓSTICO

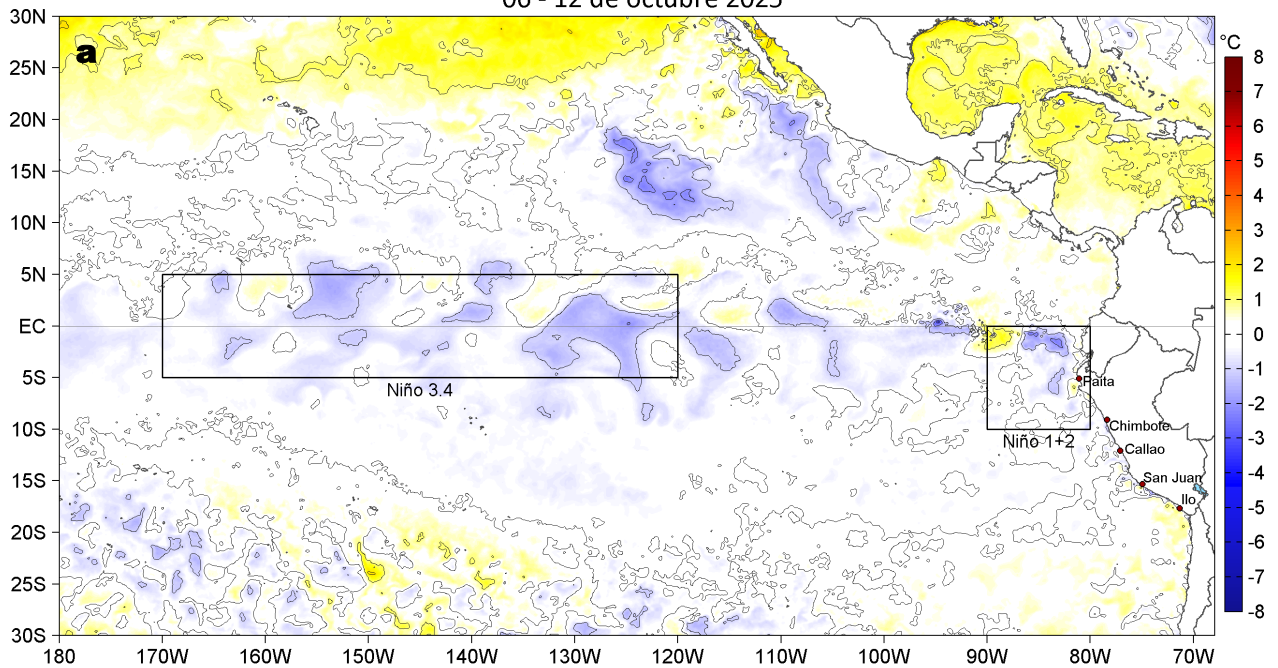
- Entre el 21 y 26 de octubre, entre Máncora y Atico, se espera que la velocidad del viento (VV) aumente del rango moderado al rango fuerte en el sector oceánico y la costa central. Fuera de esta zona y en la franja muy costera persistirían VV débiles a moderadas. Las anomalías de la VV presentarían valores negativos (< -1,0 m/s) que irían declinando en cobertura y magnitud, hasta pasar a valores positivos entre el 24 y 25 de octubre frente a las costas norte y centro y en el sector oceánico sur. El día 26 volverían valores de anomalías negativas a neutras.
- De acuerdo con el modelo MERCATOR, en la región Niño 1+2, se espera primero una normalización de la TSM hasta el día 23, y del 24 al 28, un nuevo enfriamiento; aunque estos cambios no rebasarían los límites del rango neutro.

Callao, lunes 20 de octubre del 2025

Servicio de Información Oceanográfica del Fenómeno El Niño (SIOFEN)
Dirección General de Investigaciones en Oceanografía y Cambio Climático (DGIOCC) y
Dirección General de Investigaciones de Recursos Pelágicos (DGIRP)
Instituto del Mar del Perú (IMARPE)

I. CONDICIONES DE MACROESCALA

Anomalías de la Temperatura Superficial del Mar (°C)
06 - 12 de octubre 2025



Anomalías de la Temperatura Superficial del Mar (°C)
13 - 19 de octubre 2025

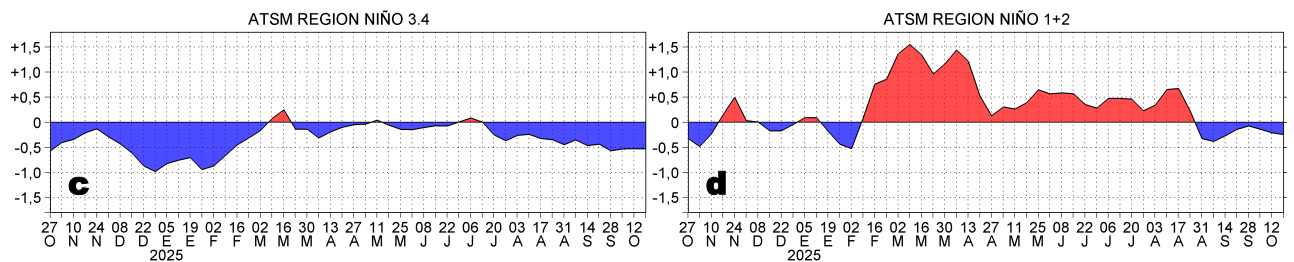
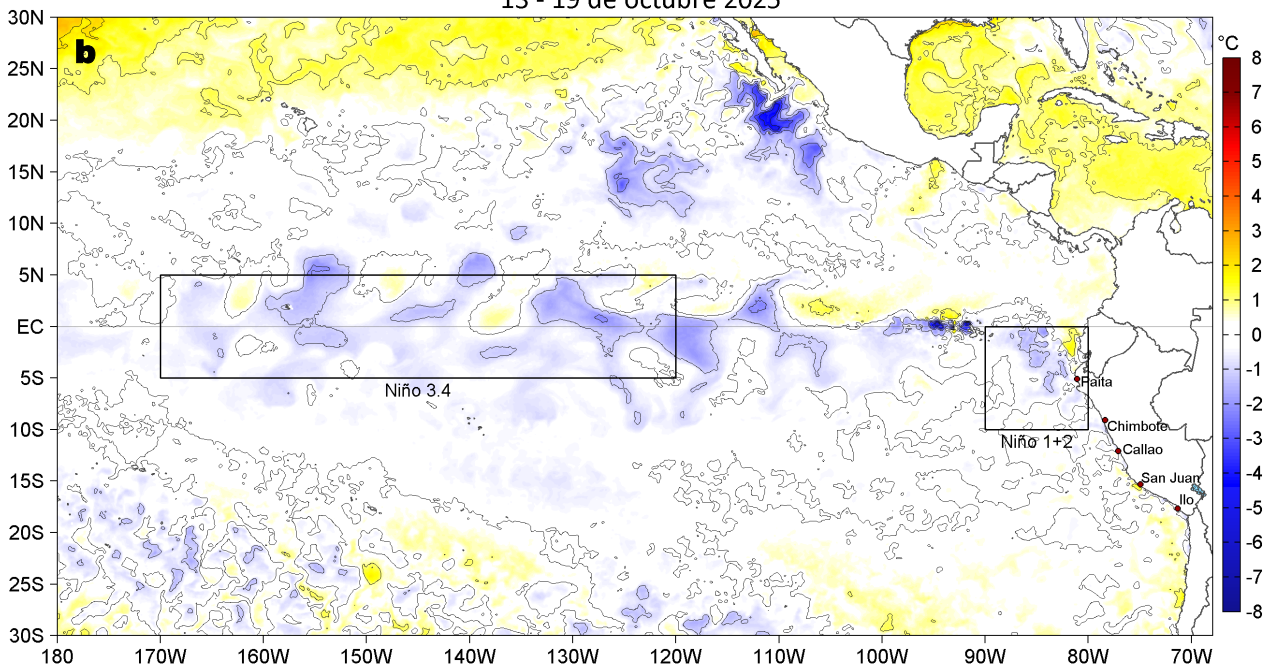


Figura 1. Anomalías promedio de la temperatura superficial del mar (TSM, °C) en el océano Pacífico tropical del 06 al 12 de octubre (a) y del 13 al 19 de octubre (b) del 2025, así como la variación del promedio semanal durante el último año para la región Niño 3.4 (c) y la región Niño 1+2 (d). Las regiones Niño 3.4 y Niño 1+2 en los sectores central y oriental del océano, respectivamente, están delimitadas con una línea de color gris. Datos: OSTIA-UKMO-L4-GLOB-v2.0 (UK Met Office, 2012; Donlon et al, 2012). Climatología: 1991-2020.

II. CONDICIONES DE MESOESCALA

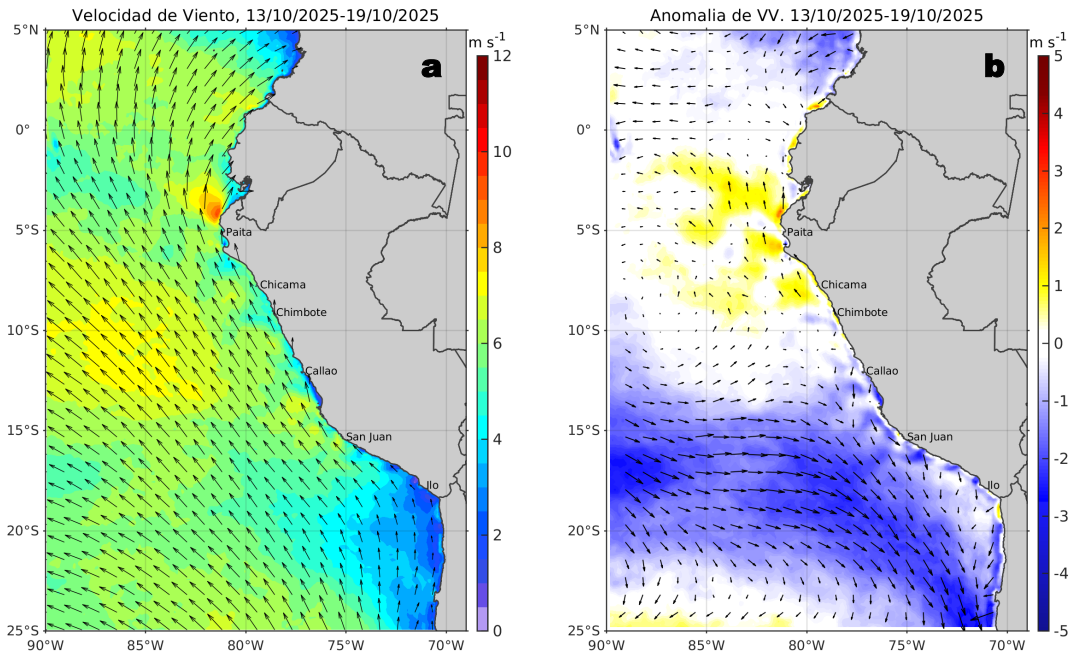


Figura 2. Distribución espacial promedio de: a) la velocidad (m/s) y dirección del viento (°) y b) anomalías de la velocidad (m/s) y dirección del viento (°) frente a la costa peruana del 13 al 19 de octubre del 2025. La velocidad del viento y su anomalía se presentan en matices de colores a la derecha. La dirección del viento y su anomalía se presentan con flechas. Fuente de los datos: CMEMS. Climatología: 2000-2020.

Entre Máncora y Atico, la velocidad del viento (VV) se mantuvo en el rango moderado (4,1 a 6,8 m/s) a fuerte (6,8 a 10,4 m/s) en el sector oceánico y frente a la costa central; al sur de Atico y en la franja bien costera central se mantuvo principalmente en el rango débil (<4,1 m/s). Frente a la costa peruana predominaron anomalías negativas de la VV en la costa centro-sur y en el sector oceánico, mientras que en la costa norte se registraron anomalías positivas.

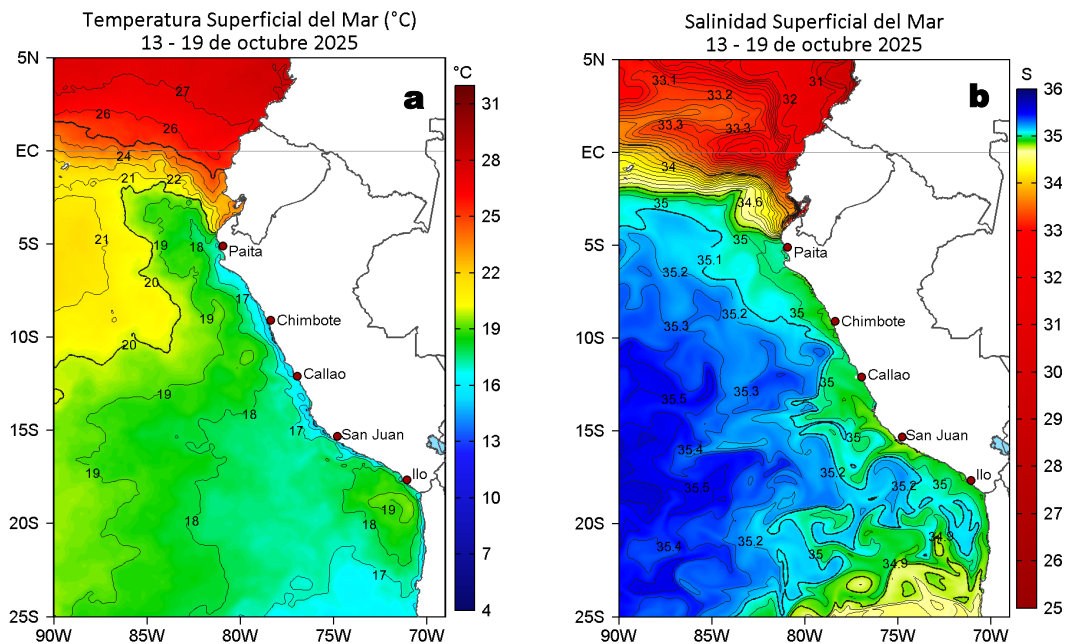


Figura 3. Distribución espacial promedio de la: a) Temperatura superficial del Mar (TSM, °C) y b) Salinidad superficial del mar (SSM) del 13 al 19 de octubre del 2025. Datos: OSTIA-UKMO-L4-GLOB-v2.0 (UK Met Office, 2012; Donlon et al, 2012) para (a) y del GLOBAL_ANALYSISFORECAST_PHY_001_024 (Lellouche, J. M. et al, 2013) para (b).

La TSM en la franja adyacente al litoral peruano varió entre 24,3 °C (Tumbes) y 14,4 °C (San Juan de Marcona). Las aguas con TSM < 20 °C disminuyeron su proyección hacia el norte, ubicándose hasta Salinas (Ecuador), permitiendo la intromisión de las aguas cálidas superiores a 21 °C y la generación de anomalías cálidas de hasta +1,7 °C (Figura 1b). La banda de aguas menores a 17 °C se proyectó hasta Paita, aunque con una menor cobertura al sur de Huacho (Figura 3a). De acuerdo al modelo Mercator (Figura 3b), las Aguas Ecuatoriales Superficiales (AES; $33,8 < SSM < 34,8$) se mantuvieron al norte de Talara, mientras que, las aguas costeras frías (ACF; $34,8 < SSM < 35,1$) continuaron ocupando la zona costera al sur de Talara, generando mezcla con las Aguas Subtropicales Superficiales (ASS; $SSM > 35,1$) por fuera de las 50 mn, con la excepción principal de la zona de Puerto Supe donde las ASS aún se mantienen cerca de la costa.

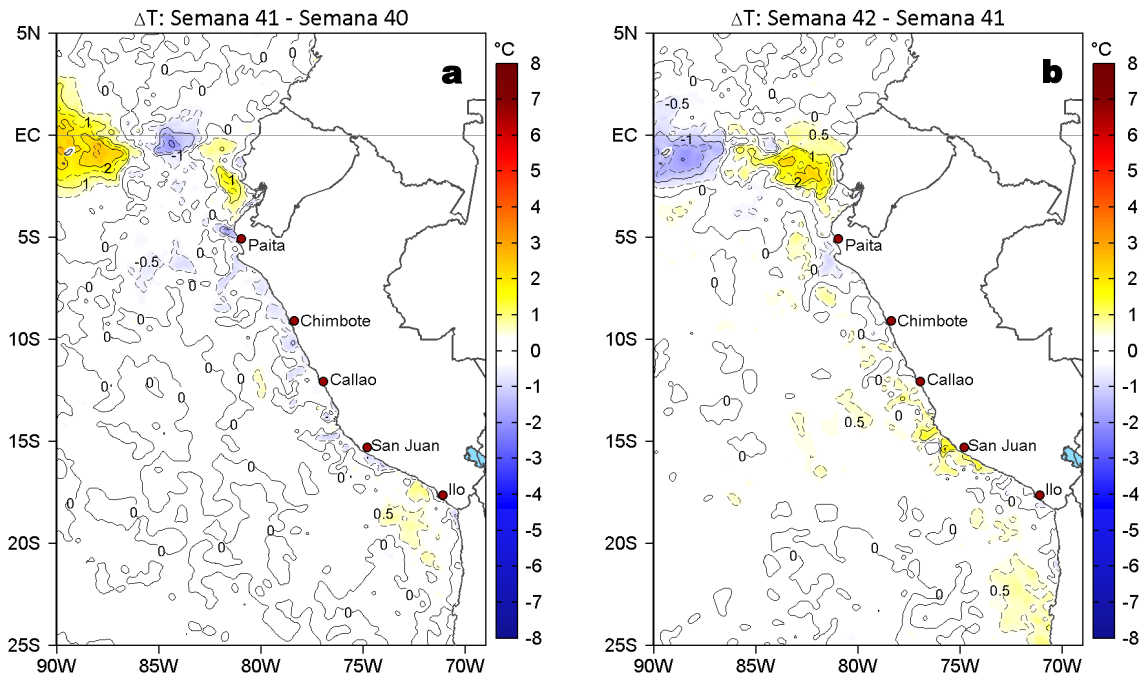


Figura 4. Variación semanal de la TSM (°C) en el océano Pacífico tropical oriental entre: a) cuadragésima primera (06 - 12 de octubre) y cuadragésima (29 de septiembre - 05 de octubre) semana de 2025 y b) cuadragésima segunda (13 - 19 de octubre) y cuadragésima primera (06 - 12 de octubre) semana de 2025. Los mapas, que indican el grado de calentamiento o enfriamiento de una semana a otra, provienen de OSTIA-UKMO-L4-GLOB-v2.0 (UK Met Office, 2012; Donlon et al, 2012).

Con respecto a la semana anterior (Figura 4b), la TSM en la franja costera presentó incrementos entre Pisco y Atico de hasta 1,9 °C (San Juan de Marcona) y un leve enfriamiento frente a Punta Falsa. Frente a la costa ecuatoriana, la TSM aumentó en hasta 2,4 °C frente a Punta Salinas, proyectado hasta los 85°W.

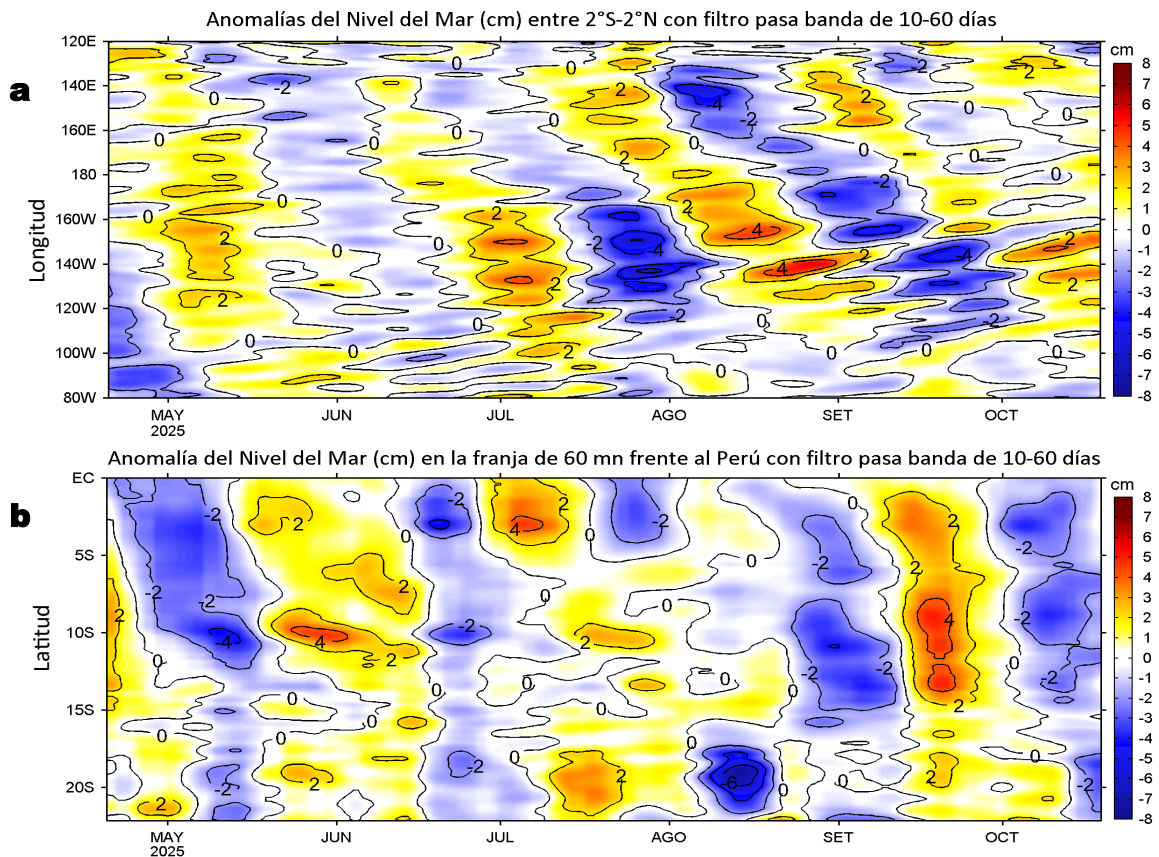


Figura 5. Anomalías diarias del nivel del mar (cm) con filtro pasa banda de 10-60 días para: a) la franja de 2°S-2°N en el Pacífico ecuatorial y b) la franja de 60 mn adyacente a la costa entre el ecuador geográfico y 22°S, actualizado al 19 de octubre del 2025. Datos: CMEMS-DUACS. Climatología: 1993-2020.

Los valores negativos de las anomalías de nivel del mar (ANM) filtradas indicaron la propagación de la onda Kelvin fría hasta la costa norte de Chile, así como la finalización de su efecto frente a la costa norte del Perú. En el Pacífico ecuatorial, las ANM filtradas positivas asociadas a la propagación de una onda Kelvin cálida, extendieron su cobertura hasta los 90°W.

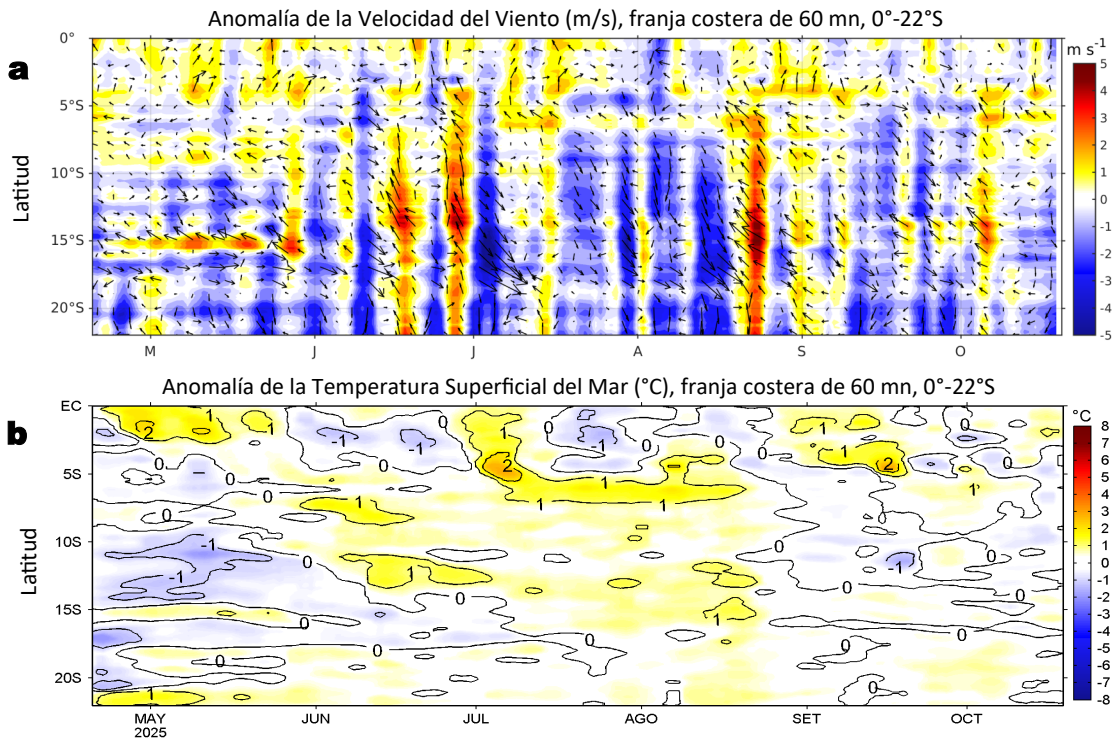


Figura 6. Evolución de las anomalías diarias de: a) Velocidad del viento (m/s) y b) TSM (°C) de abril al 19 de octubre del 2025. Datos: CMEMS para (a) y OSTIA-UKMO-L4-GLOB-v2.0 para (b). Las anomalías fueron calculadas para una franja de 60 mn adyacente a la costa entre el ecuador geográfico y 20°S para (a) y 22°S para (b), según los promedios diarios de 2000-2020 para (a) y de 1991-2020 para (b). La barra de colores a la derecha muestra la escala de las anomalías en cada caso.

En la franja costera, entre Máncora y Chicama se registraron anomalías positivas débiles de la VV, mientras que al sur de esta zona se observaron anomalías negativas (Figura 6a). Esto favoreció condiciones neutras a frías débiles frente a la costa norte y centro, así como condiciones neutras a cálidas débiles frente a la costa sur (Figura 6b).

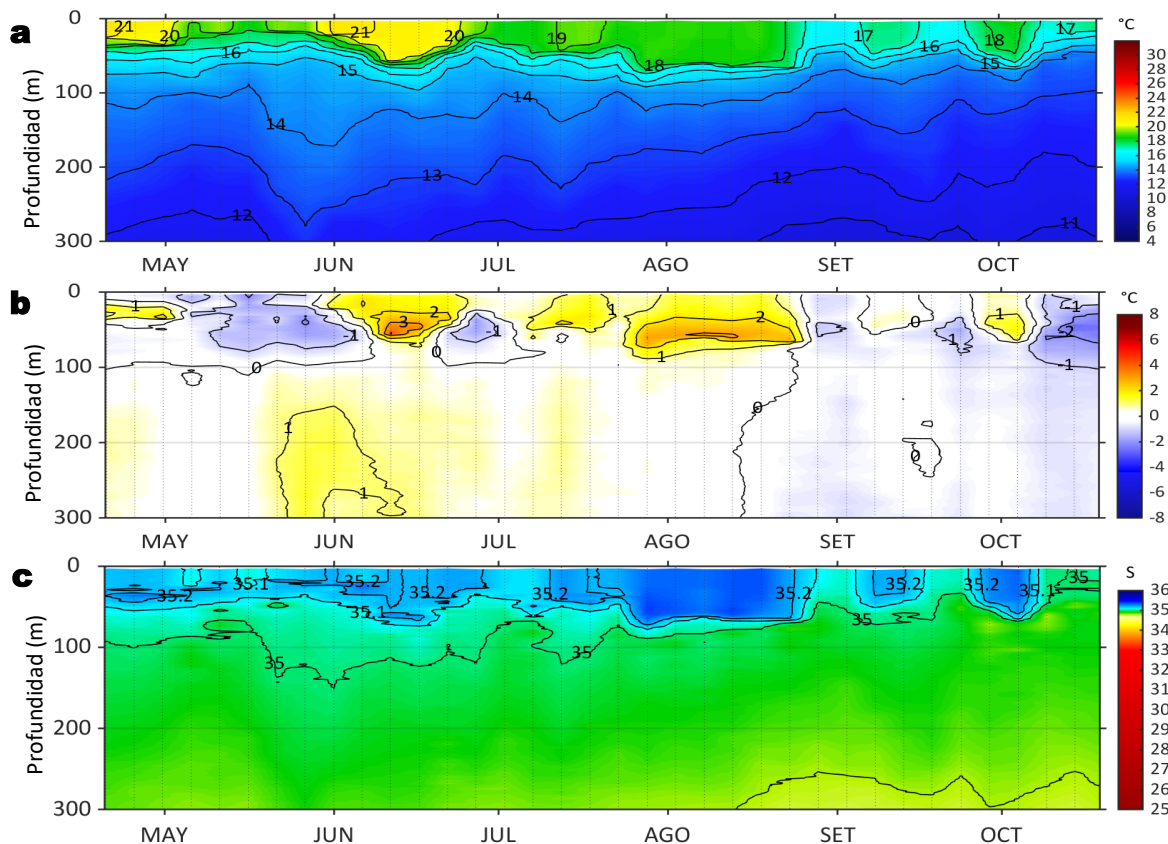
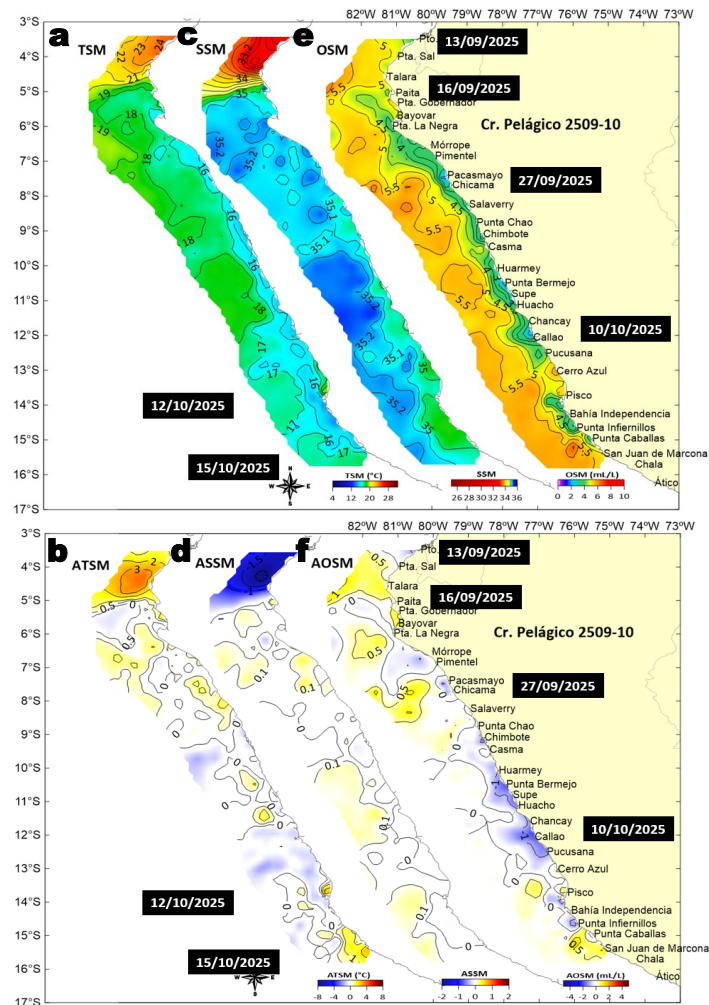


Figura 7. Diagrama Hovmöller de: a) Temperatura del mar (°C), b) Anomalías térmicas (°C) y c) Salinidad del mar registrados por el perfilador ARGO No. 3903004, a 47 mn (11,52°S y 78,27°W) frente a Huacho el día 19 de octubre del 2025. Las anomalías térmicas se calcularon de acuerdo a Domínguez et al (2023). Los puntos en la columna de agua indican los días en que el perfilador registró información. Datos: ARGO.

A 47 mn frente a Huacho el día 19 de octubre, se registró una TSM de 17,7 °C con anomalía de -0,3 °C, y una salinidad superficial de 35,04. En la columna de agua se detectaron anomalías de -0,5 °C a -2,5 °C (a 47 m) entre los 15 y 210 m.

IIA. CONDICIONES REGISTRADAS EN MONITOREO BIO-OCEANOGRÁFICO



Sección: Pisco (11 y 12 de octubre, 2025).
Embarcación: BIC Humboldt.

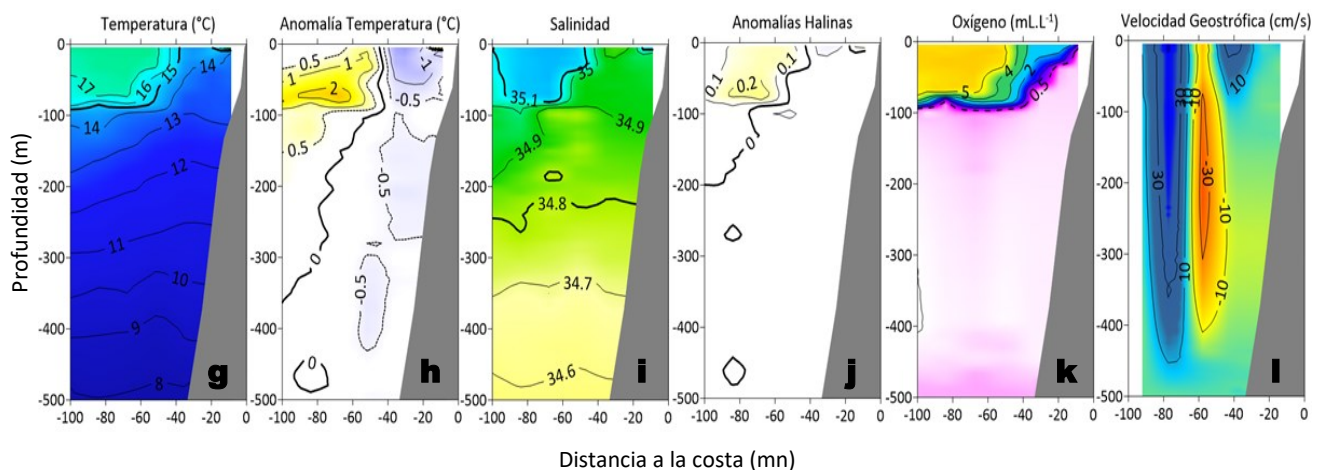


Figura 8. Distribución a nivel superficial de la a) temperatura ($^{\circ}\text{C}$), b) anomalías térmicas ($^{\circ}\text{C}$), c) salinidad, d) anomalías halinas, e) oxígeno (mL/L) y f) anomalía del oxígeno; así como la estructura vertical de la: g) temperatura ($^{\circ}\text{C}$), h) anomalías térmicas ($^{\circ}\text{C}$), i) salinidad, j) anomalías halinas, k) oxígeno (mL/L) y l) velocidad geostrofica (cm/s); registradas durante el “Crucero de Evaluación Hidroacústica de la Anchoqueta y Otros Recursos Pelágicos, Cr. 2509-10”, entre el 11 y 15 de octubre de 2025, a bordo del BIC Humboldt y BIC Flores. Las anomalías se calcularon de acuerdo a Domínguez et al (2023).

La información *in situ* registrada por el IMARPE durante la última semana, entre Callao y San Juan de Marcona indicó el predominio de condiciones térmicas neutras, aunque de Pisco a San Juan se detectaron anomalías positivas de hasta $+2^{\circ}\text{C}$ asociada al acercamiento a la costa de las ASS y vinculadas a valores de oxígeno mayores a 5 mL/L (Figura 8 a-f). Se detectaron núcleos de afloramiento costero en Callao y Pisco. En subsuperficie, frente a Pisco (Figura 8 g-k) se identificaron dentro de las 40 mn patrones asociados al afloramiento costero, como el ascenso de la isoterma de 15°C y valores de oxígeno de 2 a 3 mL/L en superficie; en cambio por fuera de las 50 mn desde la capa superficial hasta los 100 m se presentaron las ASS ($S > 35,1$) lo que se reflejó en anomalías de $+1^{\circ}\text{C}$ a $+2^{\circ}\text{C}$.

III. ÍNDICES CLIMÁTICOS Y BIOLÓGICO-PESQUERO

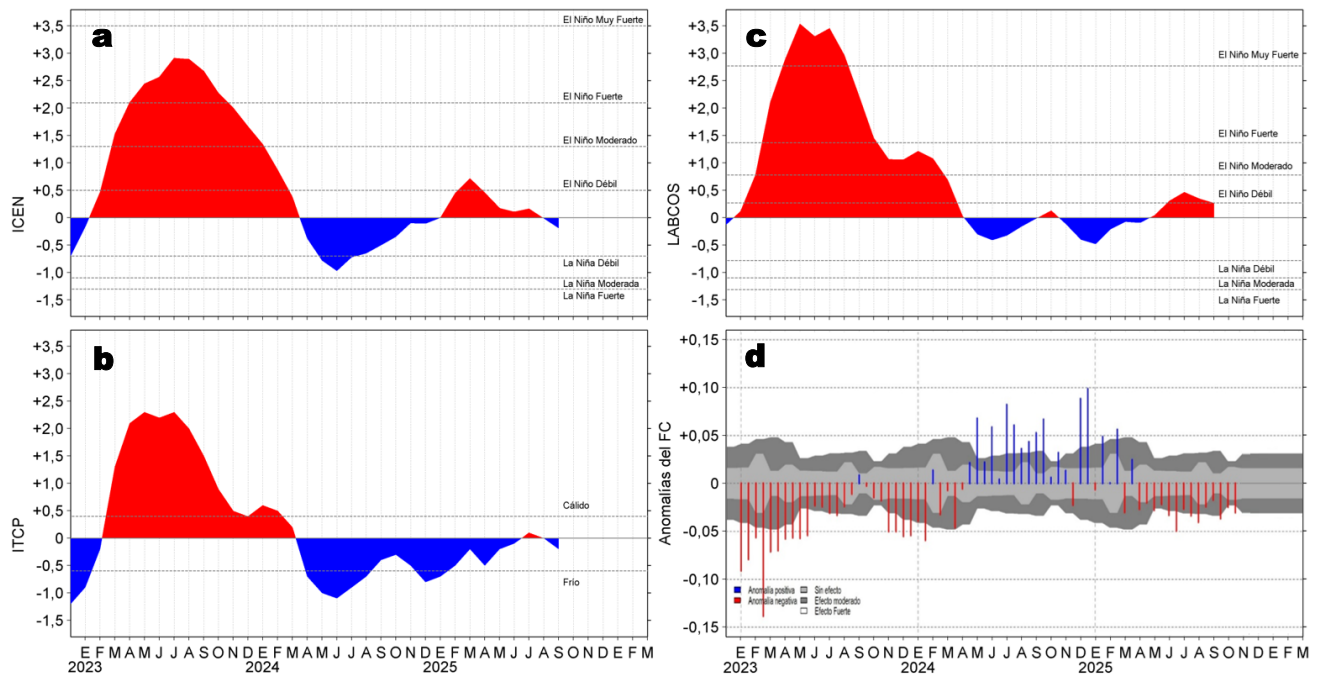


Figura 9. Series de tiempo de: a) Índice Costero El Niño (ICEN; ENFEN, 2024), b) Índice Térmico Costero Peruano (ITCP; Quispe et al., 2016), c) Índice de Laboratorios Costeros (LABCOS; Quispe y Vásquez, 2015) y d) Anomalías del índice del factor de condición (AFC) de la anchoveta peruana *Engraulis ringens* (Cuba et al., 2019) desde diciembre 2022 hasta septiembre del 2025.

El valor temporal del ICEN para septiembre alcanzó un valor de -0,19 (ENFEN, 2025), manteniéndose en el rango neutro con una tendencia negativa desde julio (Figura 9a). Con respecto a la condición somática de la anchoveta *Engraulis ringens*, en lo que va de octubre, la anomalía del factor de condición presentó un valor negativo de efecto fuerte (Figura 9d).

IV. ASPECTOS BIOLÓGICO-PESQUEROS

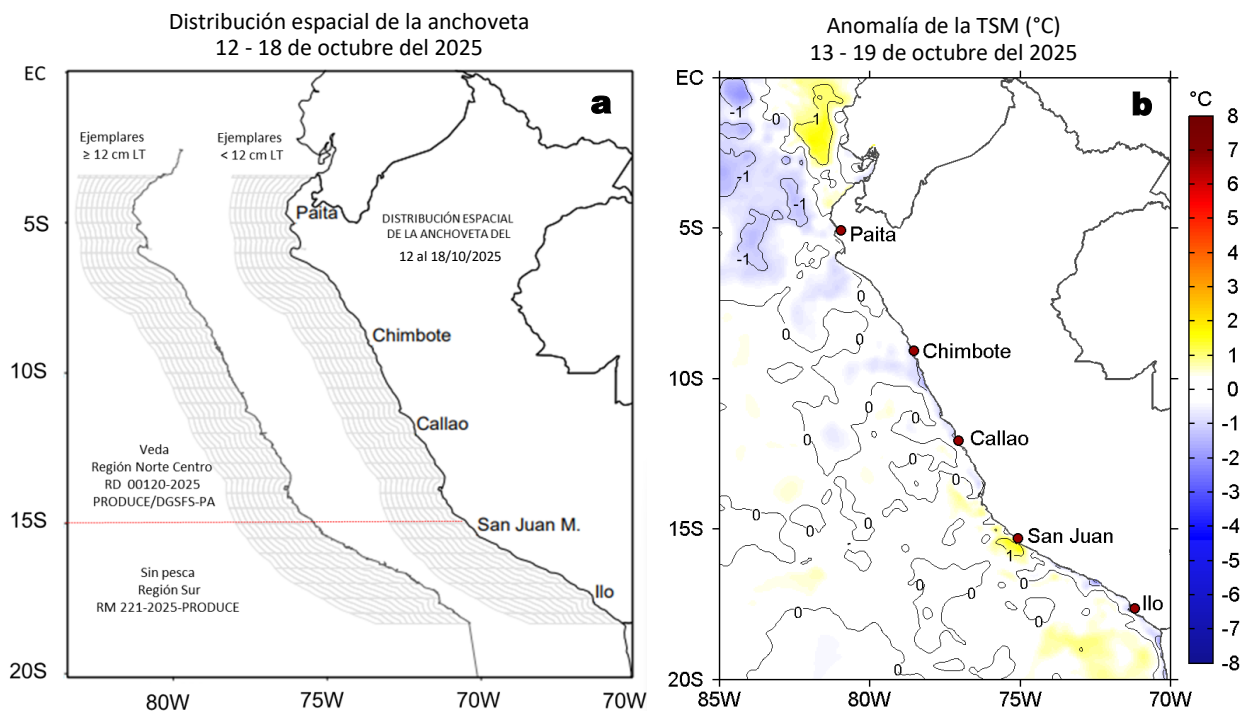


Figura 10. a) Distribución de la anchoveta según porcentaje de juveniles por región y su relación con b) las anomalías térmicas (°C) para la semana del 13 al 19 de octubre del 2025. Datos: OSTIA-UKMO-L4-GLOB-v2.0 (UK Met Office, 2012; Donlon et al, 2012). Las anomalías térmicas se calcularon con respecto de la climatología para el período 1991-2020.

Durante la presente semana, la región Norte-Centro no registró actividad pesquera debido al cierre de la primera temporada de pesca, mientras que, la región Sur continuó sin registrar actividad (Figura 10a). En términos de la TSM, frente a la costa peruana destaca el predominio de anomalías dentro del rango neutro a frías de leve intensidad frente a la costa norte y central, así como anomalías cálidas frente a San Juan y fuera de las 20 mn de Ilo (Figura 10b).

V. PRONÓSTICO

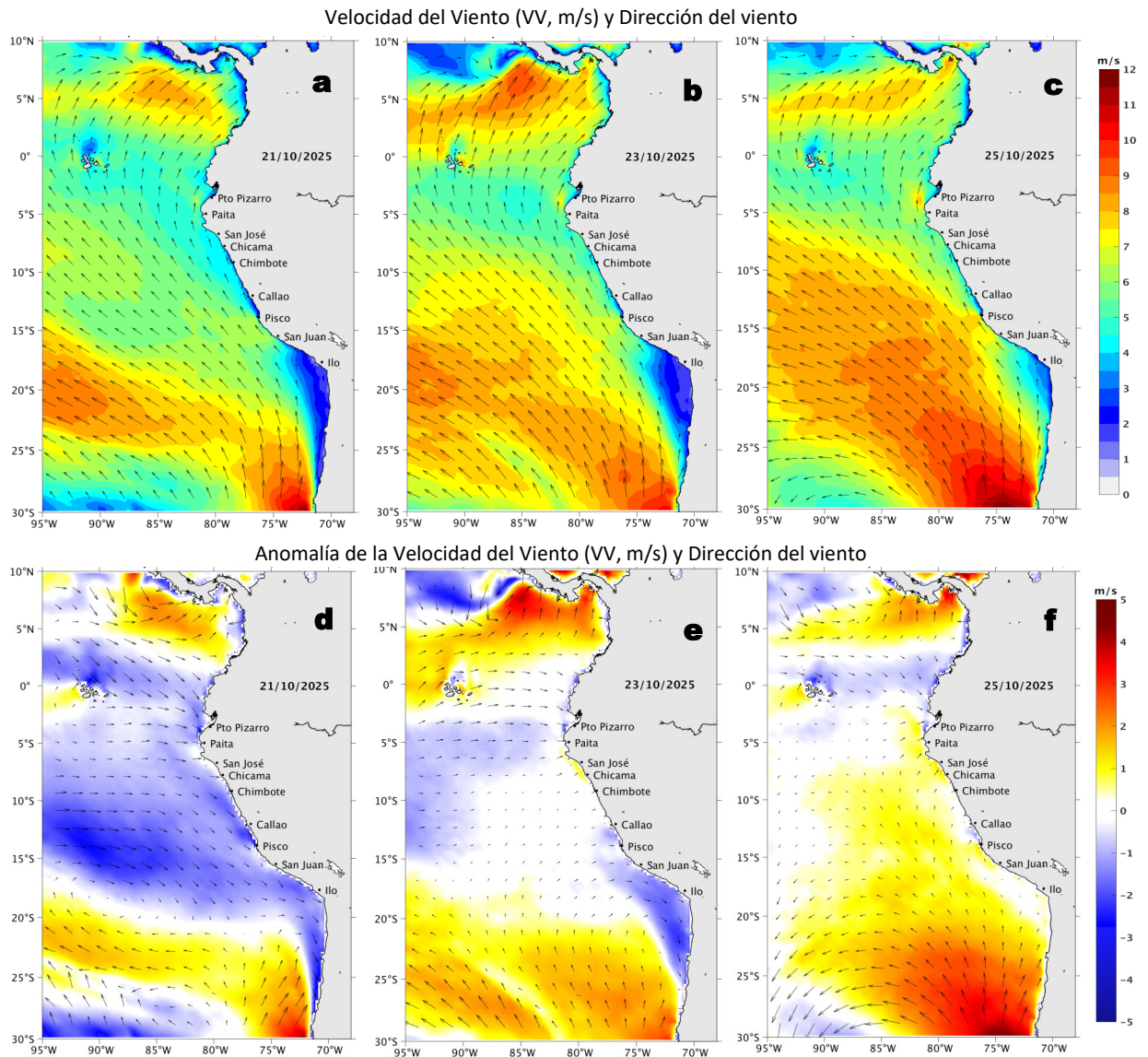


Figura 11. Distribución espacial del pronóstico de la velocidad del viento (VV, m/s) y dirección del viento ($^{\circ}$), así como para sus anomalías para los días a) 21, b) 23 y c) 25 de octubre de 2025, frente a la costa sudamericana entre Centroamérica y la costa norte de Chile. Fuente: Modelo Climate Forecast System (GFS) de la NOAA. Climatología: 2000-2020.

Entre el 21 y 26 de octubre, entre Máncora y Atico, se espera que la VV aumente del rango moderado al rango fuerte en el sector oceánico y la costa central. Fuera de esta zona y en la franja muy costera persistirían VV débiles a moderadas. Durante los días 21 y 22 se prevén anomalías negativas de la VV frente a toda la costa peruana, y anomalías negativas o en el rango neutro para el día 23. Posteriormente, los días 24 y 25 se esperan anomalías positivas frente a las costas norte y centro, y en el sector oceánico sur. El día 26 volverían anomalías negativas o en el rango neutro.

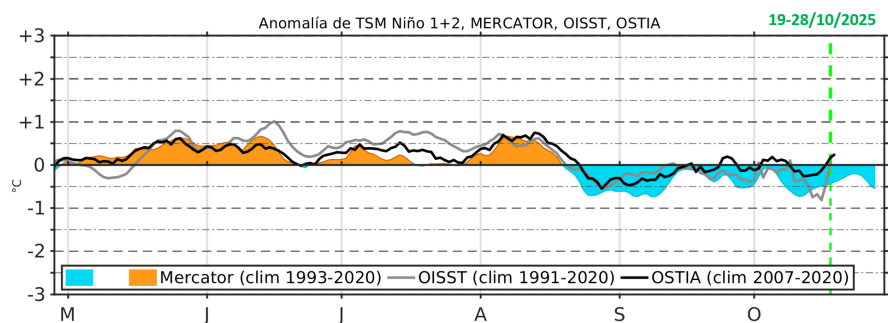


Figura 12. Series de tiempo de la anomalía de TSM diaria en la región Niño 1+2, obtenidas a partir del modelo MERCATOR a escala diaria (sombreado celeste y naranja), el producto OISST (línea gris) y el producto OSTIA (línea negra), a partir del promedio climatológico de 1993-2020, 1991-2020 y 2007-2020, respectivamente. La línea discontinua vertical de color verde indica la fecha de inicio del pronóstico de las anomalías de TSM según MERCATOR.

De acuerdo con el modelo MERCATOR, en la región Niño 1+2, se espera primero una normalización de la TSM hasta el día 23, y del 24 al 28, un nuevo enfriamiento; aunque estos cambios no rebasarían los límites del rango neutro.

Condiciones iniciales: 11-17 de octubre, 2025

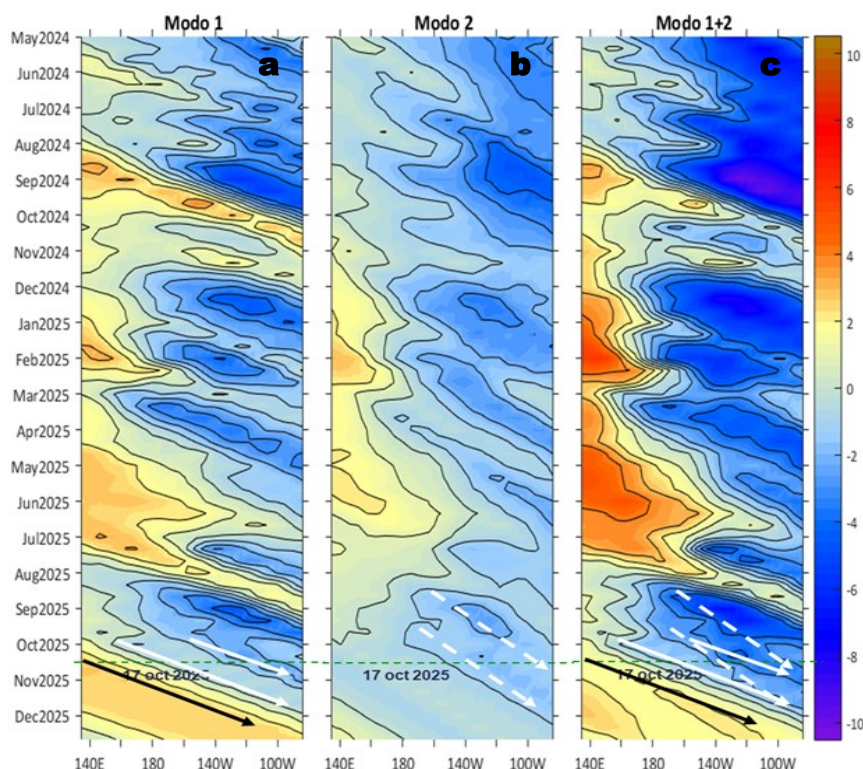


Figura 13. Diagramas Hovmöller longitud-tiempo de las ondas Kelvin ecuatoriales (OKE) en el océano Pacífico ecuatorial entre 130°E y 95°W y en la banda entre 1°N-1°S, forzado con anomalías del esfuerzo del viento (N/m^2) del NCEP (Kalnay et al., 1996) de acuerdo con la metodología de Illig et al. (2004) y Dewitte et al. (2002): a) Modo 1, b) Modo 2 y c) Modos 1+2. La línea discontinua horizontal de color verde indica la fecha del inicio del pronóstico con anomalías del esfuerzo del viento igual a cero. Los valores negativos corresponden a ondas Kelvin de afloramiento (frías) y están representadas por flechas discontinuas de color blanco. Los valores positivos corresponden a ondas Kelvin de hundimiento (cálidas) cuya propagación está representada por flechas de color negro sólido (modo 1) y discontinuo (modo 2). Datos del modelo: LMOECC/AFIOF/DGIOCC/IMARPE.

La última simulación del modelo de ondas Kelvin ecuatoriales (OKE) implementado en el IMARPE, forzada con anomalías del esfuerzo del viento ecuatorial superficial obtenidas del NCEP al 17.10.2025, indica que la OK ecuatorial fría (modo 2), mencionada en el BS OBP N°35-2025, sigue propagándose hacia el este y llegaría al extremo oriental del Pacífico ecuatorial entre octubre y noviembre. Otra OK ecuatorial fría (modo 1), generada por las anomalías persistentes de vientos del este en el Pacífico ecuatorial durante setiembre, también se prevé que llegue entre octubre y noviembre. Además, otras dos señales de OK ecuatorial frías (modo 1 y modo 2), mencionadas en el boletín anterior y en el BS OBP N°40-2025 respectivamente, mantienen su propagación hacia el este, con llegada prevista entre noviembre y diciembre. Cabe señalar que una OK ecuatorial cálida (modo 1) podría generarse como reflexión de una onda Rossby cálida en el Pacífico ecuatorial occidental, y se espera que arribe al extremo oriental del Pacífico ecuatorial entre diciembre 2025 y enero 2026.

RECONOCIMIENTOS

The Group for High Resolution Sea Surface Temperature (GHRSSST) Multi-scale Ultra-high Resolution (MUR) Level 4 OSTIA Global Foundation Sea Surface Temperature Analysis (GDS version 2). Ver. 2.0 data were obtained from the NASA EOSDIS Physical Oceanography Distributed Active Archive Center (PO.DAAC) at the Jet Propulsion Laboratory, Pasadena, CA (<http://dx.doi.org/10.5067/GHGMR-4FJ01>).

IFREMER/CERSAT. 2005. ERS-1 Level 3 Gridded Mean Wind Fields (IFREMER). Ver.1.PO.DAAC, CA, USA (<ftp://anonymous@ftp.ifremer.fr/ifremer/cersat/products/gridded/mwf-ers1>).

The Ssalto/Duacs altimeter products were produced and distributed by the Copernicus Marine and Environment Monitoring Service (CMEMS) (<https://data.marine.copernicus.eu/products>).

The products from the MERCATOR OCEAN system distributed through the Marine Copernicus Service (<https://data.marine.copernicus.eu/products>).

The Pacific Islands Ocean Observing System (PacIOOS) is funded through the National Oceanic and Atmospheric Administration (NOAA) as a Regional Association within the U.S. Integrated Ocean Observing System (IOOS). PacIOOS is coordinated by the University of Hawaii School of Ocean and Earth Science and Technology (SOEST).

Las anomalías del índice de factor de condición fueron determinadas a partir de información brindada por el Laboratorio de Biología Reproductiva de la sede central de IMARPE.

Este boletín es una acción del Programa Presupuesto Por Resultados - PPR 068 El Niño "Reducción de Vulnerabilidad y Atención de Emergencias por Desastres" y su producto "Entidades Informadas en forma permanente y con pronósticos frente al Fenómeno El Niño" del IMARPE.

REFERENCIAS

- Cuba, A., Sánchez, J., Mori, J., & Chávez, G. (2019). Anomalías de los índices reproductivos fracción desovante e índice gonadosomático de anchoveta peruana *Engraulis ringens* (Jenyns, 1842) del stock norte-centro del Perú en relación a El Niño Costero 2017. *The Biologist*, 17(2).
- Dewitte B., D. Gushchina, Y. du Penhoat and S. Lakeev, 2002: On the importance of subsurface variability for ENSO simulation and prediction with intermediate coupled models of the Tropical Pacific: A case study for the 1997-1998 El Niño. *Geoph. Res. Lett.*, vol. 29, no. 14, 1666, 10.1029/2001GL014452.
- Donlon, C. J, M. Martin, J. Stark, J. Roberts-Jones, E. Fiedler, W. Wimmer, 2012. The Operational Sea Surface Temperature and Sea Ice Analysis (OSTIA) system. *Remote Sen. Env.*, 116, 140-158.
- ENFEN, 2024. Definición operacional de los eventos El Niño Costero y La Niña Costera en el Perú. Nota Técnica. <https://enfen.imarpe.gob.pe/download/nota-tecnica-enfen-01-2024-definicion-operacional-de-los-eventos-el-nino-costero-y-la-nina-costera-en-el-peru/?wpdmdl=1905&ind=1733921744133>
- ENFEN, 2025. Informe Técnico ENFEN. Año 11, N° 12, 15 de octubre del 2025, 93 p. <https://enfen.imarpe.gob.pe/download/informe-tecnico-enfen-ano-11-n12-al-15-de-octubre-de-2025/?wpdmdl=1966&refresh=68f2a93c071551760733500>
- Hobday, A. J., Alexander, L. V., Perkins, S. E., Smale, D. A., Straub, S. C., Oliver, E. C. J., ... Wernberg, T. (2016). A hierarchical approach to defining marine heatwaves. *Progress in Oceanography*, 141, 227–238. doi:10.1016/j.pocean.2015.12.014
- Illig, S., B. Dewitte, N. Ayoub, Y. du Penhoat, G. Reverdin, P. De Mey, F. Bonjean and G. S. E. Lagerloef, 2004: Interannual Long Equatorial Waves in the Tropical Atlantic from a High Resolution OGCM Experiment in 1981-2000, *Journal of Geophysical Research*, 109, C02022, doi:10.1029/2003jc001771.
- Kalnay, E., M. Kanamitsu, R. Kistler, W. Collins, D. Deaven, L. Gandin, M. Iredell, S. Saha, G. White, J. Woollen, Y. Zhu, A. Leetmaa, B. Reynolds, M. Chelliah, W. Ebisuzaki, W. Higgins, J. Janowiak, K. Mo, C. Ropelewski, J. Wang, R. Jenne, and D. Joseph, 1996: The NCEP/NCAR 40-Year Reanalysis Project. *Bull. Amer. Meteor. Soc.*, 77, 437–471.
- Kobayashi S, Ota Y, Harada Y, Ebata A, Moriya M, Onoda H, Onogi K, Kamahori H, Kobayashi C, Endo H, Miyaoka K, Takahashi K (2015) The JRA-55 reanalysis: general specifications and basic characteristics. *J Meteor Soc Jpn* 93: 5–48.
- Lellouche, J.-M., Le Galloudec, O., Drévilion, M., Régnier, C., Greiner, E., Garric, G., Ferry, N., Desportes, C., Testut, C.-E., Bricaud, C., Bourdallé-Badie, R., Tranchant, B., Benkiran, M., Drillet, Y., Daudin, A., and De Nicola, C.: Evaluation of global monitoring and forecasting systems at Mercator Océan, *Ocean Sci.*, 9, 57-81, 2013.
- Perea, A., B. Buitrón, J. Mori, J. Sánchez, C. Roque, 2015. Anomalías de los Índices reproductivos de anchoveta *Engraulis ringens* en relación al ambiente. En: *Boletín Trimestral Oceanográfico*, Volumen 1, Números 1-4, pp.: 27-28.
- Pietri, A., Colas, F., Mogollon, R., J. Tam & D. Gutierrez. Marine heatwaves in the Humboldt current system: from 5-day localized warming to year-long El Niños. *Sci Rep* 11, 21172 (2021). <https://doi.org/10.1038/s41598-021-00340-4>
- Quispe Ccallauri, C, J. Tam, H. Demarcq, C. Romero, D. Espinoza, A. Chamorro, J. Ramos, R. Oliveros, 2016. El Índice Térmico Costero Peruano. En: *Boletín Trimestral Oceanográfico*, Volumen 2, Número 1, pp: 7-11.
- Quispe-Ccalluari C, Tam J, Arellano C, Chamorro A, Espinoza-Morriberón D, Romero C, Ramos J. 2015. Desarrollo y aplicación de índices y simulaciones para la vigilancia y el pronóstico a mediano plazo del impacto del ENOS frente a la costa peruana. *Inf. Inst. Mar Perú*, Vol. 44(1):28-34. <https://biblioiimarpe.imarpe.gob.pe/handle/20.500.12958/3149>
- Quispe, J. y L. Vásquez, 2015. Índice “LABCOS” para la caracterización de evento El Niño y La Niña frente a la costa del Perú, 1976-2015. En: *Boletín Trimestral Oceanográfico*, Volumen 1, Números 1-4, pp.: 14-18.



El Boletín Semanal Oceanográfico y Biológico-Pesquero (BS-OBP) presenta la evolución de variables físicas en el océano y la atmósfera, de la estructura físico-química del océano frente a la costa norte-centro del Perú en un contexto temporal de corto plazo y en un marco local-regional. El objetivo del BSOBP es comprender los efectos de la variabilidad de macroescala y regional de corto plazo en las condiciones oceanográficas y biológico-pesqueras del mar peruano. Esta información se sustenta en las redes observacionales in situ que administra el IMARPE y que se ha fortalecido en el marco del Programa Presupuesto Por Resultados - PPR 068 El Niño “Reducción de Vulnerabilidad y Atención de Emergencias por Desastres” y su producto “Entidades Informadas en forma permanente y con pronósticos frente al Fenómeno El Niño” del Estado Peruano. Asimismo, esta información local se complementa con un repertorio de productos satelitales y con mediciones directas de equipamiento de programas y proyectos internacionales con el fin de lograr un análisis integrado del estado del océano. El BS-OBP, asimismo, pretende informar de forma oportuna y permanente sobre el estado del océano a diferentes grupos de interés y sociedad en general y contribuir a mejorar el conocimiento del mar peruano y coadyuvar a la gestión del riesgo de desastres del Estado Peruano.

Servicio de Información Oceanográfica del Fenómeno El Niño (SIOFEN)
Instituto del Mar del Perú (IMARPE)



IMARPE (2025). Boletín Semanal Oceanográfico y Biológico-Pesquero N°42-2025, 13 - 19 de octubre de 2025, Callao, Instituto del Mar del Perú.

<https://siofen.imarpe.gob.pe/boletines-e-informes/BS-OBP>

Colaboradores: Katherine Vásquez, Dimitri Gutiérrez, Daniel Camarena, Tony Anculle, Carlos Quispe, Walter García, Javier Sánchez, Dany Ulloa, Cecilia Peña, Jorge Quispe y Cristhian Asto.

Colaboradores en monitoreo in situ: Daniel Quispe, Jonathan Correa, Sergio Bances, Edinson Torpoco, Dekar Hernández, David Bayona y Fabián Rojas.

© 2025 Instituto del Mar del Perú

Suscripciones: Complete [este formulario](#) o escriba a siofen@imarpe.gob.pe.

Consultas:

Servicio de Información Oceanográfica del Fenómeno El Niño, SIOFEN
Laboratorio de Hidrofísica Marina/AFIOF
Dirección General de Investigaciones Oceanográficas y Cambio Climático
Instituto del Mar del Perú
Esquina Gamarra y General Valle S/N, Chucuito, Callao - Perú.
Correo electrónico: siofen@imarpe.gob.pe.
Teléfono: (51 1) 904 0137 (Extensión 824).

Foto en la portada: Mar peruano (© M. Sarmiento/IMARPE).